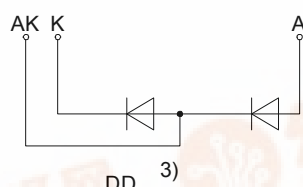
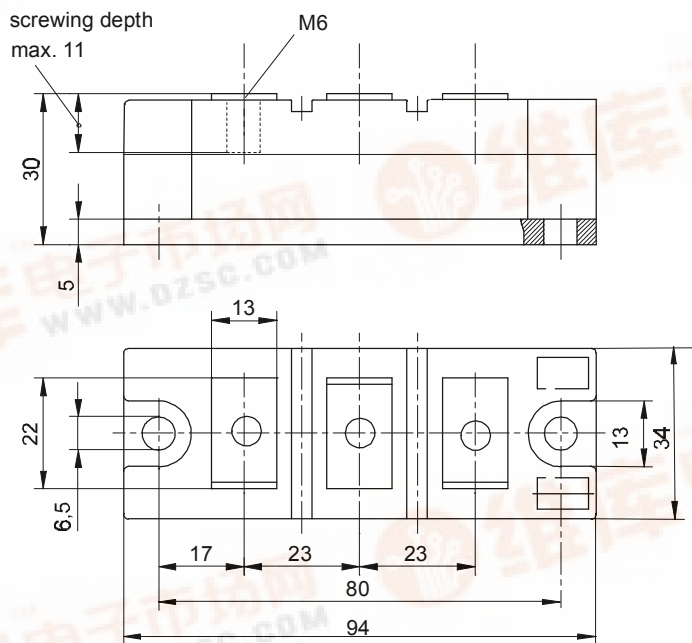




European Power-
Semiconductor and
Electronics Company
GmbH + Co. KG

Marketing Information DD 171 N

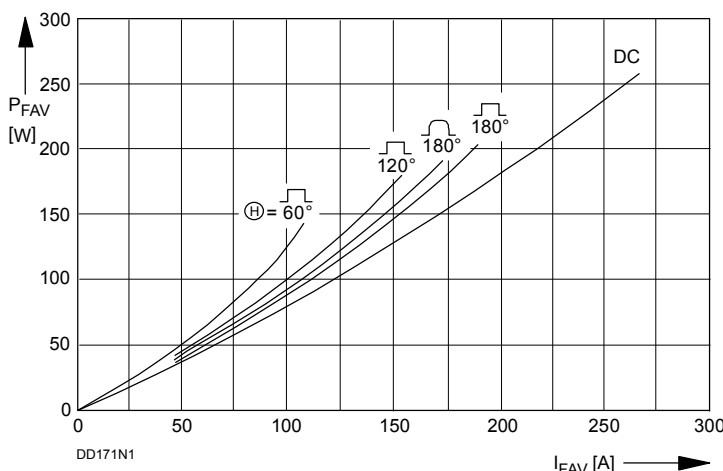


DD 171 N

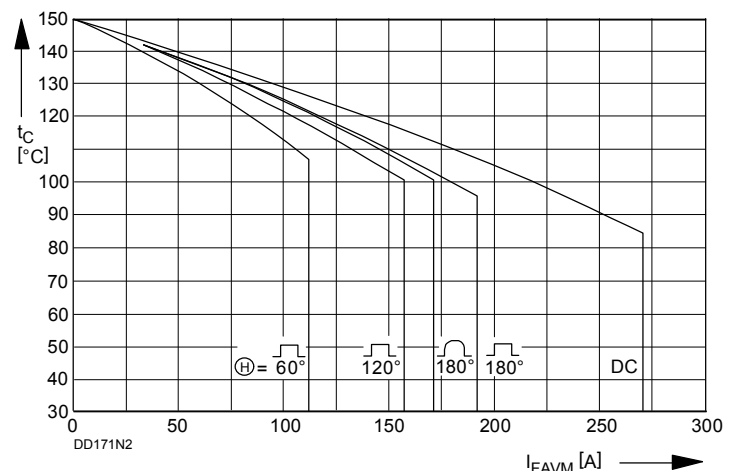
Elektrische Eigenschaften						
<i>Höchstzulässige Werte</i>						
Periodische Spitzensperrspannung	repetitive peak reverse voltage	$t_{vj} = -40^\circ\text{C} \dots t_{vj \max}$	V_{RRM}	600 1400	800 1600	1200 1800 V
Stoßspitzensperrspannung	non-repetitive peak reverse voltage	$t_{vj} = +25^\circ\text{C} \dots t_{vj \max}$	V_{RSM}	700 1500	900 1700	1300 1900 V
Durchlaßstrom-Grenzeffektivwert	RMS forward current		I_{FRMSM}		270	A
Dauergrenzstrom	mean forward current	$t_c = 100^\circ\text{C}$	I_{FAVM}		170	A
Stoßstrom-Grenzwert	surge forward current	$t_{vj} = 25^\circ\text{C}, t_p = 10\text{ ms}$ $t_{vj} = t_{vj \max}, t_p = 10\text{ ms}$	I_{FSM}		6,6 5,6	kA kA
Grenzlastintegral	$I^2 t$ -value	$t_{vj} = 25^\circ\text{C}, t_p = 10\text{ ms}$ $t_{vj} = t_{vj \max}, t_p = 10\text{ ms}$	$I^2 t$		$218 \cdot 10^3$ $157 \cdot 10^3$	A^2s A^2s
<i>Charakteristische Werte</i>						
Durchlaßspannung	forward voltage	$t_{vj} = t_{vj \max}, i_F = 500\text{ A}$	V_F	max.	1,26	V
Schleusenspannung	threshold voltage	$t_{vj} = t_{vj \max}$	$V_{T(TO)}$		0,75	V
Ersatzwiderstand	forward slope resistance	$t_{vj} = t_{vj \max}$	r_T		0,8	$\text{m}\Omega$
Sperrstrom	reverse current	$t_{vj} = t_{vj \max}, V_R = V_{RRM}$	i_R	max.	20	mA
Isolations-Prüfspannung	insulation test voltage	RMS, $f = 50\text{ Hz}, t = 1\text{ min}$	V_{ISOL}		2,5	kV
Thermische Eigenschaften						
Innerer Wärmewiderstand	thermal resistance, junction to case	pro Modul/per module, $\Theta = 180^\circ \text{ sin}$ pro Zweig/per arm, $\Theta = 180^\circ \text{ sin}$ pro Modul/per module, DC pro Zweig/per arm, DC	R_{thJC}	max.	0,130 0,260 0,126 0,252	$^\circ\text{C}/\text{W}$ $^\circ\text{C}/\text{W}$ $^\circ\text{C}/\text{W}$ $^\circ\text{C}/\text{W}$
Übergangs-Wärmewiderstand	thermal resistance, case to heatsink	pro Modul/per module pro Zweig/per arm	R_{thCK}	max.	0,03 0,06	$^\circ\text{C}/\text{W}$ $^\circ\text{C}/\text{W}$
Höchstzul. Sperrsichttemperatur	max. junction temperature	$t_{vj \max}$			150	$^\circ\text{C}$
Betriebstemperatur	operating temperature	$t_c \text{ op}$			-40...+150	$^\circ\text{C}$
Lagertemperatur	storage temperature	t_{stg}			-40...+150	$^\circ\text{C}$ ²⁾
Mechanische Eigenschaften						
Gehäuse, siehe Seite	case, see page					1
Si-Element mit Druckkontakt	Si-pellet with pressure contact					
Innere Isolation	internal insulation					AlN
Anzugsdrehmoment für mechanische Befestigung	mounting torque	Toleranz/tolerance +/- 15%	M1		6	Nm
Anzugsdrehmoment für elektrische Anschlüsse	terminal connection torque	Toleranz/tolerance +5%/-10%	M2		6	Nm
Gewicht	weight		G	typ.	310	g
Kriechstrecke	creepage distance				15	mm
Schwingfestigkeit	vibration resistance	$f = 50\text{ Hz}$			50	m/s^2

²⁾ Gemäß DIN IEC 749 mit 747-1 gilt eine Zeitbegrenzung von 672 h. Für die im Betrieb auftretende Gehäusetemperatur gilt keine zeitliche Begrenzung. / According to DIN IEC 749 with 747-1 a time-limit of 672 h is defined. There is no time-limit set for case temperature during operation.

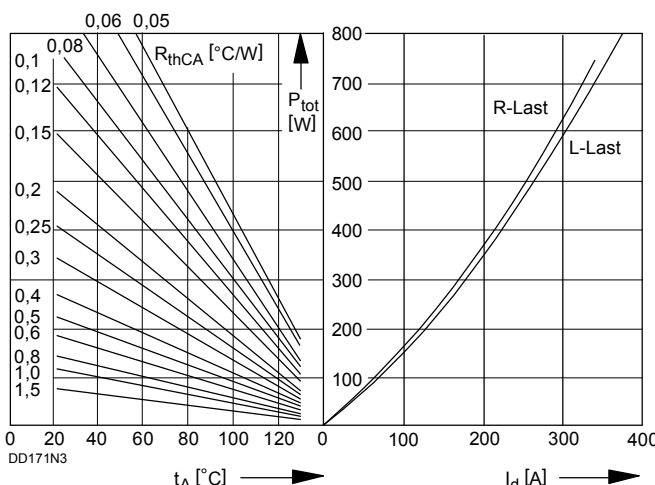
DD 171 N



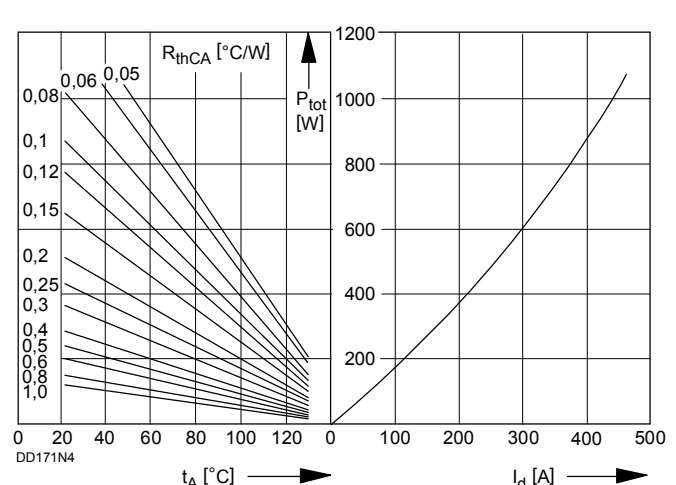
Bild/Fig. 1
Durchlaßverlustleistung P_{FAV} eines Zweiges
Forward power loss P_{FAV} per arm



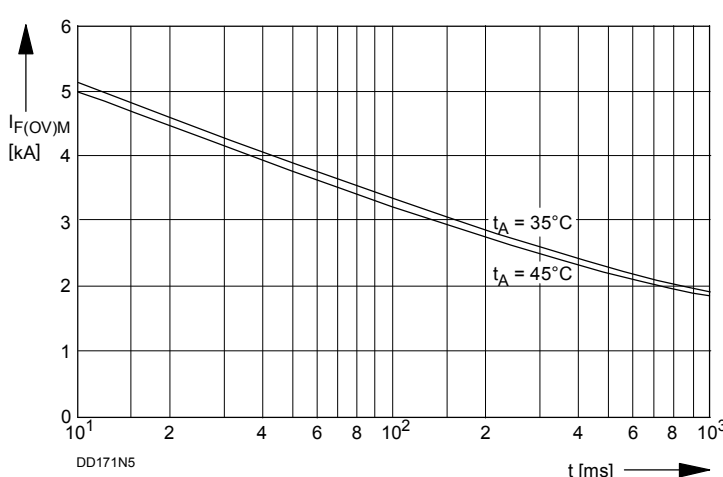
Bild/Fig. 2
Höchstzulässige Gehäusetemperatur t_C in Abhängigkeit vom Zweigstrom
Maximum allowable case temperature t_C versus current per arm



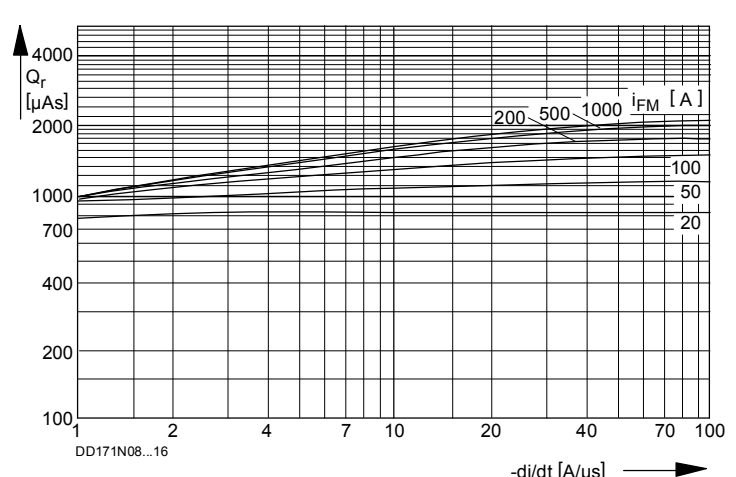
Bild/Fig. 3
B2 - Zweipuls-Brückenschaltung. Höchstzulässiger Ausgangstrom I_d
in Abhängigkeit von der Umgebungstemperatur t_A .
B2 - Two-pulse bridge circuit. Maximum allowable output current I_d
versus ambient temperature t_A .
Parameter: Wärmewiderstand zwischen Powerblock und Umgebung/
thermal resistance case to ambient R_{thCA}



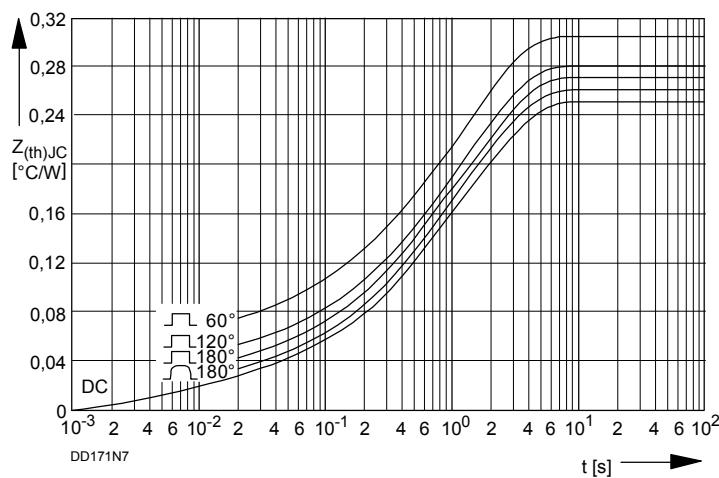
Bild/Fig. 4
B6 - Sechspuls-Brückenschaltung. Höchstzulässiger Ausgangstrom I_d
in Abhängigkeit von der Umgebungstemperatur t_A .
B6 - Six-pulse bridge circuit. Maximum allowable output current I_d
versus ambient temperature t_A .
Parameter: Wärmewiderstand zwischen Powerblock und Umgebung/
thermal resistance case to ambient R_{thCA}



Bild/Fig. 5
Grenzstrom je Zweig $I_{F(OV)M}$ bei Luftselbstkühlung, $t_A=45^\circ\text{C}$ und verstärkter
Luftkühlung, $t_A=35^\circ\text{C}$, Belastung nach Leerlauf, $V_{RM} = 0,8 V_{RRM}$.
Limiting overload on-state current per arm $I_{F(OV)M}$ at natural ($t_A=45^\circ\text{C}$) and
forced ($t_A=35^\circ$) cooling, current surge under no-load conditions,
 $V_{RM} = 0,8 V_{RRM}$.



Bild/Fig. 6
Spererverzögerungsladung / Recovered charge $Q_r = f(-di/dt)$
 $t_{ij} = t_{ij \max}$, $V_R \leq 0,5 V_{RRM}$, $V_{RM} = 0,8 V_{RRM}$
Parameter: Durchlaßstrom / Forward current i_{FM}



Bild/Fig. 7

Transienter innerer Wärmewiderstand je Zweig $Z_{(th)JC}$.
Transient thermal impedance, junction to case, per arm $Z_{(th)JC}$.

Analytische Elemente des transienten Wärmewiderstandes Z_{thJC} pro Zweig für DC
Analytical elements of transient thermal impedance Z_{thJC} per arm for DC

Pos. n	1	2	3	4	5	6	7
$R_{thn} [{}^\circ\text{C}/\text{W}]$	0,0094	0,0224	0,0586	0,162			
$\tau_n [\text{s}]$	0,0014	0,0253	0,267	1,68			

Analytische Funktion / Analytical function:

$$Z_{thJC} = \sum_{n=1}^{n_{\max}} R_{thn} (1 - e^{-\frac{t}{\tau_n}})$$